

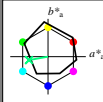
Entrée et sortie: Système Offset Reflective ORS18a pour la teinte CIELAB relative $h_{ab,a,rel} = h_{ab}/360 = 190/360 = 0.52$

$H^*_e = G25B_$

Données de couleurs périphériques (d)
 ou élémentaires (e):

HIC^*_e
 code de teinte pour les couleurs de cette page:
 $H^*_e = G25B_$

triangle de luminosité T^*



ORS18a; données CIELAB (a) adaptées

| nom | $L^* = L^*_a a^*_a$ | b^*_a | $C^*_{ab,a}$ | $h^*_{ab,a}$ | |
|---------|---------------------|---------|--------------|--------------|-----|
| R_.,Ma | 47.9 | 65.3 | 50.5 | 82.6 | 37 |
| Y_.,Ma | 90.3 | -10.2 | 91.7 | 92.3 | 96 |
| G_.,Ma | 50.9 | -62.8 | 34.9 | 71.9 | 150 |
| C_.,Ma | 58.6 | -30.3 | -45.0 | 54.2 | 236 |
| B_.,Ma | 25.7 | 31.0 | -44.4 | 54.2 | 305 |
| M_.,Ma | 48.1 | 75.2 | -8.3 | 75.7 | 353 |
| N_.,Ma | 18.0 | 0.0 | 0.0 | 0.0 | 0 |
| W_.,Ma | 95.4 | 0.0 | 0.0 | 0.0 | 0 |
| R_.,CIE | 39.9 | 58.7 | 27.9 | 65.0 | 25 |
| Y_.,CIE | 81.2 | -2.8 | 71.5 | 71.6 | 92 |
| G_.,CIE | 52.2 | -42.4 | 13.6 | 44.5 | 162 |
| B_.,CIE | 30.5 | 1.4 | -46.4 | 46.4 | 271 |

Les données de couleur maximale (Ma):

LabCh*_.,Ma: 59 -50 -9 51 190

HIC^*_e .,Ma: G25B_100_100_

rgbic*_.,Ma:

0.0 1.0 0.5 1.0 1.0

triangle de luminosité T^*

ORS20a; données CIELAB (a) adaptées

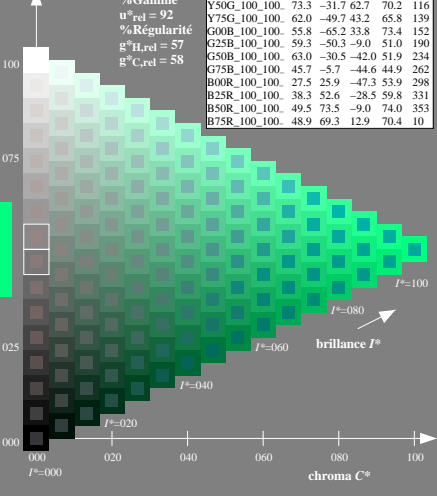
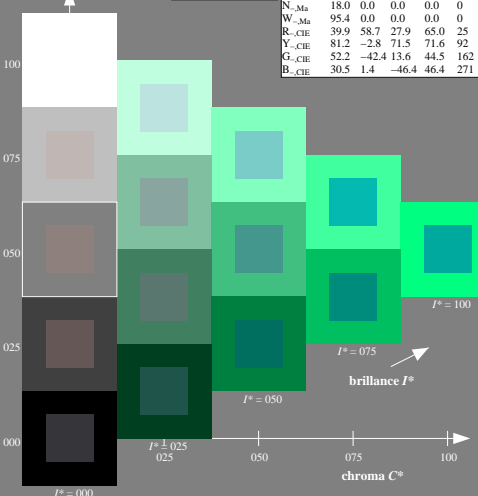
| H^*_e | $L^* = L^*_a a^*_a$ | b^*_a | $C^*_{ab,a}$ | $h^*_{ab,a}$ | |
|----------------|---------------------|---------|--------------|--------------|-----|
| R00Y_100_100_. | 48.4 | 66.1 | 40.2 | 77.3 | 31 |
| R25Y_100_100_. | 56.8 | 48.0 | 50.5 | 69.6 | 46 |
| R50Y_100_100_. | 68.6 | 25.0 | 63.9 | 68.6 | 68 |
| R75Y_100_100_. | 80.6 | 4.8 | 77.2 | 77.3 | 86 |
| Y00G_100_100_. | 90.2 | -9.6 | 88.2 | 88.7 | 96 |
| Y25G_100_100_. | 83.2 | -18.4 | 79.9 | 81.9 | 102 |
| Y50G_100_100_. | 73.3 | -31.7 | 62.7 | 70.2 | 116 |
| Y75G_100_100_. | 62.0 | -49.7 | 43.2 | 65.8 | 139 |
| G00B_100_100_. | 55.8 | -65.2 | 33.8 | 73.4 | 152 |
| G25B_100_100_. | 59.3 | -50.3 | -9.0 | 51.0 | 190 |
| G50B_100_100_. | 63.0 | -30.5 | -42.0 | 51.9 | 234 |
| G75B_100_100_. | 45.7 | -5.7 | -44.6 | 44.9 | 262 |
| B00R_100_100_. | 27.5 | 25.9 | -47.3 | 53.9 | 298 |
| B25R_100_100_. | 38.3 | 52.6 | -28.5 | 59.8 | 331 |
| B50R_100_100_. | 49.5 | 73.5 | -9.0 | 74.0 | 353 |
| B75R_100_100_. | 48.9 | 69.3 | 12.9 | 70.4 | 10 |

%Gamme
 $u^*_{rel} = 92$
 %Régularité
 $g^*_{H,rel} = 57$
 $g^*_{C,rel} = 58$

voir fichiers similaires: <http://130.149.60.45/~farbmetrik/QF84/QF84LONI.TXT> /PS
 informations techniques: <http://www.ps.bau.de> ou <http://130.149.60.45/~farbmetrik>

TUB enregistré: 20130201-QF84/QF84LONI.TXT /PS
 application pour la mesure des sorties sur offset

TUB matériel: code=rhata



3-003030-L0 QF840-7N

graphique TUB-QF84; code de teinte: $H^*_e = G25B_$
 graphique conforme à DIN 33872, 3D=0, de=0, cmyk

entrée : rgb/cmyk -> rgb/cmyk
 sortie : aucun changement